Révision: 7012

Date: 04/08/2011 Page: 1/13

Clé: V6.04.158

Titre : SSNV158 - Essai triaxial drainé avec le modèle de [...]

Responsable : Roméo FERNANDES

# SSNV158 - Essai triaxial drainé avec le modèle de Laigle

#### Résumé

Ce test permet de valider le modèle de Laigle en mécanique des roches (formalisme CIH). Il s'agit d'un essai triaxial en condition drainée. Les calculs sont effectués uniquement sur la partie solide du sol sans couplage hydromécanique. On applique quatre niveaux de confinement ( $8\,MPa-4\,MPa-2\,MPa-1\,MPa$ ). Par raison de symétrie, on ne s'intéresse qu'au huitième d'un échantillon soumis à un essai triaxial. La modélisation est axisymétrique.

Il s'agit d'un test de non régression. Néanmoins, les résultats obtenus avec *Code\_Aster* ont été post-traités avec Excel et comparés avec ceux obtenus avec une version privée du logiciel FLAC-2D.

Révision: 7012

h=1 m

l=1 m

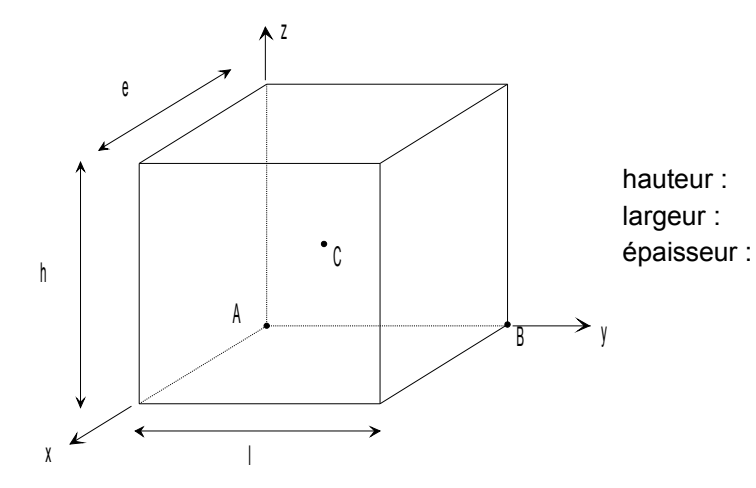
e=1 m

Titre: SSNV158 - Essai triaxial drainé avec le modèle de [...]

Date: 04/08/2011 Page: 2/13 Responsable: Roméo FERNANDES Clé: V6.04.158

## Problème de référence

#### 1.1 Géométrie



Coordonnées des points (en mètres) :

	A	B	C	D	
λ	, 0.	0.	0.5	1.	
J	, 0.	1.	0.5	1.	
	0.	0.	0.5	0.	

#### 1.2 Propriété de matériaux

$$E = 1500,0010^3 kPa$$
  
 $v = 0,27$ 

$$\gamma_{ult} = 0.132;$$

$$\gamma_e = 0.005;$$

$$m_{ult}=2.0;$$

$$m_e = 7.0;$$

$$a_e = 0.65;$$

$$m_{pic} = 15.0;$$

$$a_{pic} = 0.5;$$

$$\eta = 0.45$$
;

$$\xi = 0.25$$
;

$$\gamma_{cis} = 0.7;$$

$$\sigma_{n1} = 9.0910^6 Pa;$$

$$\sigma_{p2} = 23.05 \, 10^6 \, Pa;$$

Date: 04/08/2011 Page: 3/13 Responsable: Roméo FERNANDES Clé: V6.04.158 Révision: 7012

#### Conditions initiales, conditions aux limites, et chargement 1.3

#### Phase 1:

On amène l'échantillon à un état homogène :  $\sigma_{xx}^0 = \sigma_{yy}^0 = \sigma_{zz}^0$ , en imposant la pression de confinement correspondante sur les faces avant, latérale droite et supérieure. Les déplacements sont bloqués sur les faces arrière ( $u_x = 0$ ), latérale gauche ( $u_y = 0$ ) et inférieure ( $u_z = 0$ ).

#### Phase 2:

On maintient les déplacements bloqués sur les faces arrière ( $u_x = 0$ ), latérale gauche ( $u_y = 0$ ) et inférieure ( $u_z = 0$ ), ainsi que la pression de confinement sur les faces avant et latérale droite. On applique un déplacement imposé sur la face supérieure :  $u_z(t)$  , de façon à obtenir une déformation  $\varepsilon_{zz} = -20\%$  (comptée à partir du début de la phase 2).

Date: 04/08/2011 Page: 4/13 Responsable: Roméo FERNANDES Clé: V6.04.158 Révision: 7012

# Solution de référence

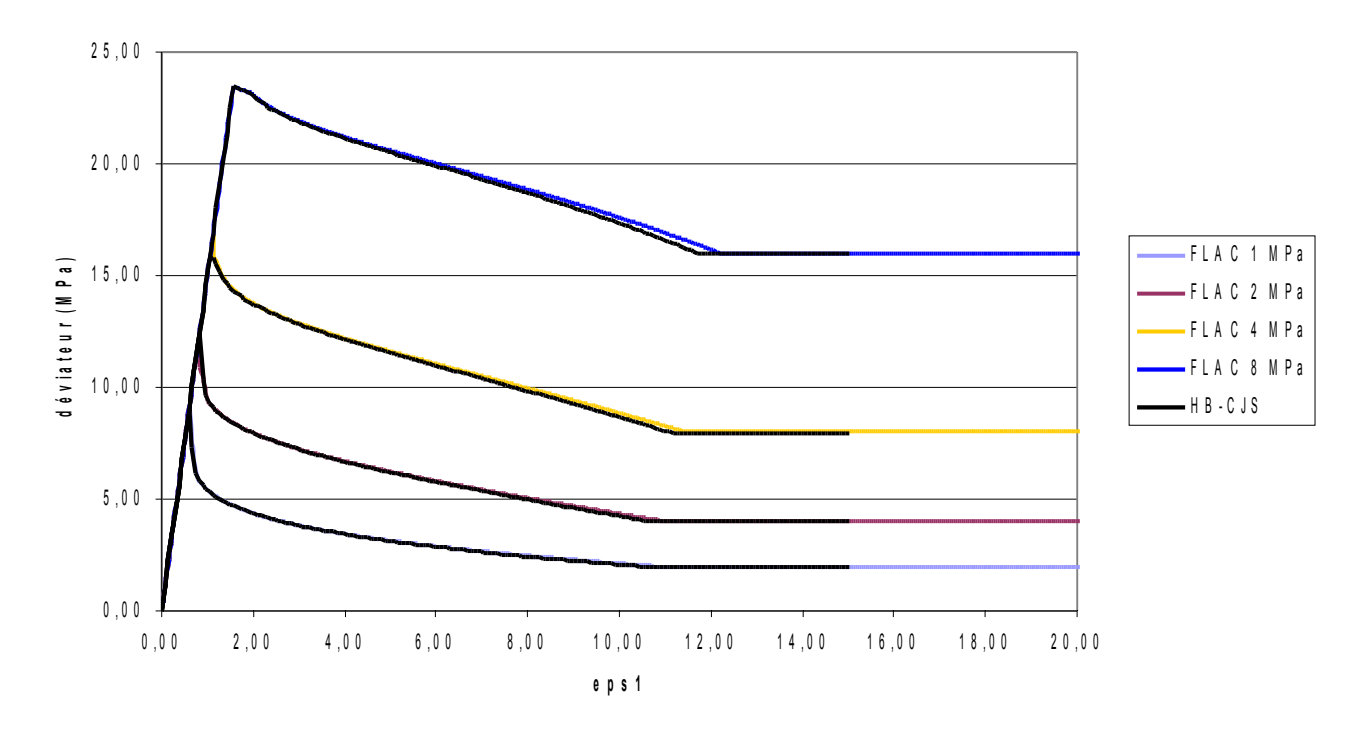
#### 2.1 Résultats de référence

Contraintes  $\sigma_{xx}$  ,  $\sigma_{yy}$  et  $\sigma_{zz}$  au point D .

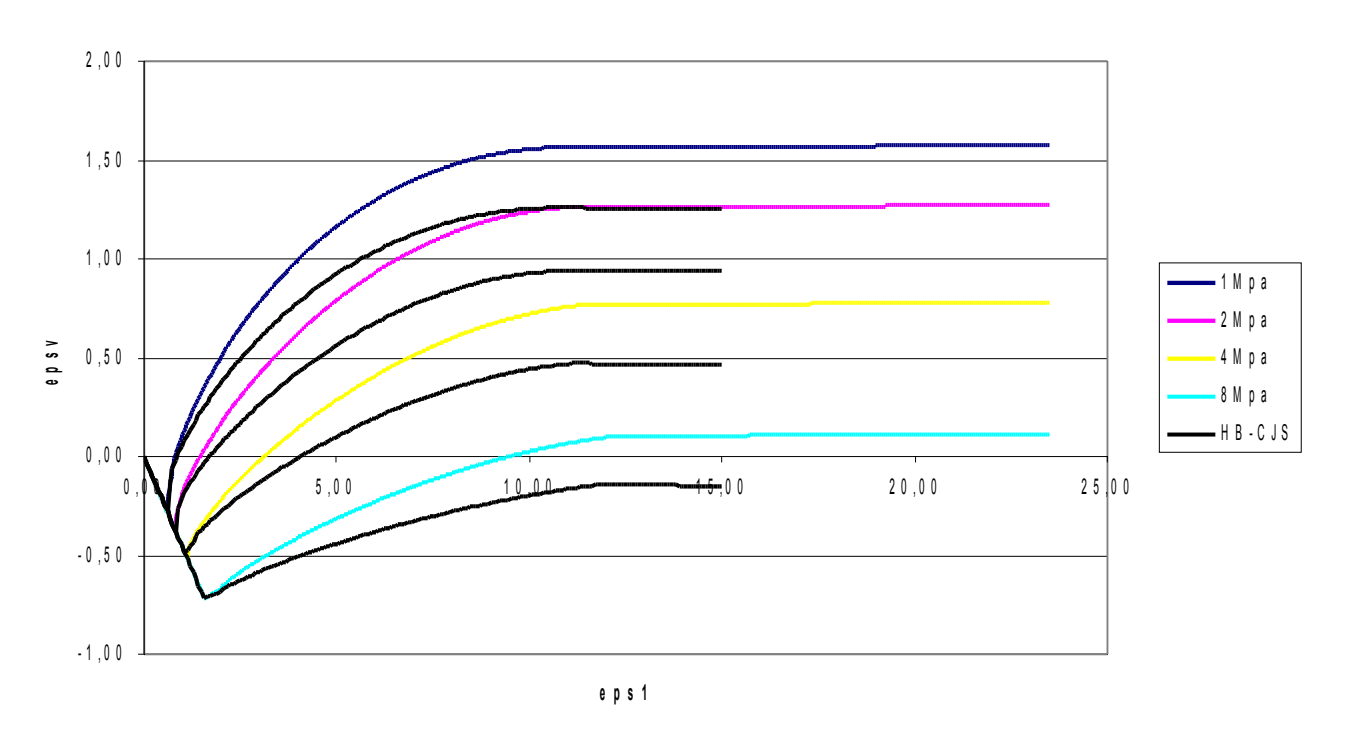
Déplacements  $\mathcal{E}_{xx}$  ,  $\mathcal{E}_{yy}$  au point D .

Références fournies par le logiciel FLAC-2D :

courbes Q-eps1



Titre : SSNV158 - Essai triaxial drainé avec le modèle de [...] Responsable : Roméo FERNANDES e p s 1 - e p s v



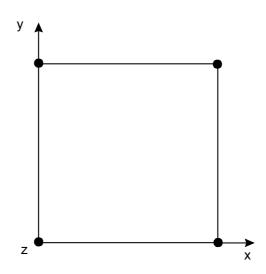
Responsable : Roméo FERNANDES

Date: 04/08/2011 Page: 6/13 Clé: V6.04.158 Révision: 7012

## 3 Modélisation A

## 3.1 Caractéristique de la modélisation

2D:



Découpage : 1 en hauteur, 1 en largeur.

Chargement de la phase 1 :

Pression de confinement :  $\sigma_{xx}^0 = \sigma_{zz}^0 = -8 \, MPa$  .

# 3.2 Caractéristique du maillage

Nombre de nœuds : 4

Nombre de mailles et types : 1 QUAD4 et 4 SEG2

Pour 
$$\sigma_{xx}^0 = \sigma_{zz}^0 = -8MPa$$

Localisation	Numéro d'ordre	Contrainte ( MPa )	Aster
Point $D$	5	$\sigma_{xx}$	- 8.000
	49	$\sigma_{xx}$	- 8.000
	5	$\sigma_{zz}$	- 8.000
	49	$\sigma_{_{Z\!Z}}$	- 8.000
	5	$\sigma_{yy}$	<b>–</b> 31.5966
	10	$\sigma_{yy}$	<b>–</b> 31.1055
	16	$\sigma_{yy}$	- 29.9622
	25	$\sigma_{yy}$	- 26.3670
	30	$\sigma_{yy}$	- 24.3922

Titre : SSNV158 - Essai triaxial drainé avec le modèle de [...]

Responsable : Roméo FERNANDES

Date : 04/08/2011 Page : 7/13

Clé : V6.04.158 Révision : 7012

40	$\sigma_{yy}$	- 24.0000
49	$\sigma_{yy}$	- 24.0000

Localisation	Numéro d'ordre	Déformation	Aster * E-02
Point $D$	1	$\mathcal{E}_{xx}$	0.324
	10	$\boldsymbol{\mathcal{E}}_{xx}$	0.692805
	40	$\mathcal{E}_{xx}$	7.140
	1	$\boldsymbol{\varepsilon}_{yy}$	<b>–</b> 1.200
	5	$\boldsymbol{\varepsilon}_{yy}$	<b>–</b> 1.580
	10	$\varepsilon_{yy}$	- 2.053
	25	$\boldsymbol{arepsilon}_{yy}$	- 8.000
	48	$\varepsilon_{vv}$	<b>– 19.04</b>

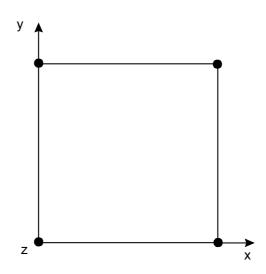
Responsable : Roméo FERNANDES

#### Date: 04/08/2011 Page: 8/13 Clé: V6.04.158 Révision: 7012

## 4 Modélisation B

## 4.1 Caractéristique de la modélisation

2D:



Découpage : 1 en hauteur, 1 en largeur.

Chargement de la phase 1 :

Pression de confinement :  $\sigma_{xx}^0 = \sigma_{zz}^0 = -4 MPa$  .

# 4.2 Caractéristique du maillage

Nombre de nœuds : 4

Nombre de mailles et types : 1 QUAD4 et 4 SEG2

Pour 
$$\sigma_{xx}^0 = \sigma_{zz}^0 = -4MPa$$

Localisation	Numéro d'ordre	Contrainte ( <i>MPa</i> )	Aster
Point D	5	$\sigma_{xx}$	- 4.000
	49	$\sigma_{xx}$	- 4.000
	5	$\sigma_{\scriptscriptstyle zz}$	- 4.000
	49	$\sigma_{zz}$	<b>-</b> 4.000
	5	$\sigma_{yy}$	<b>–</b> 19.6729
	10	$\sigma_{yy}$	<b>–</b> 17.9207
	16	$\sigma_{yy}$	<b>–</b> 16.9627
	25	$\sigma_{yy}$	<b>– 14.1850</b>

Titre : SSNV158 - Essai triaxial drainé avec le modèle de [...]

Responsable : Roméo FERNANDES

Date : 04/08/2011 Page : 9/13

Clé : V6.04.158 Révision : 7012

30	$\sigma_{yy}$	<b>–</b> 12.4257
40	$\sigma_{yy}$	<b>–</b> 12.0000
49	$\sigma_{yy}$	<b>–</b> 12.0000

Localisation	Numéro d'ordre	Déformation	Aster * E-02
Point $D$	1	$\boldsymbol{\mathcal{E}}_{xx}$	0.216
	10	$\boldsymbol{\mathcal{E}}_{xx}$	0.757
	40	$\boldsymbol{\varepsilon}_{xx}$	7.195
	1	$\epsilon_{yy}$	- 0.800
	5	$oldsymbol{arepsilon}_{yy}$	<b>–</b> 1.240
	10	$oldsymbol{arepsilon}_{yy}$	<b>–</b> 1.789
	25	$\varepsilon_{yy}$	<b>-</b> 7.000
	48	$\boldsymbol{arepsilon}_{yy}$	<b>–</b> 16.000

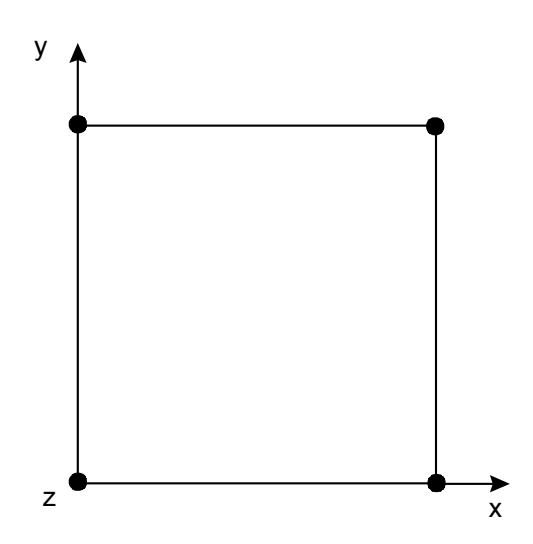
Responsable: Roméo FERNANDES

Date: 04/08/2011 Page: 10/13 Clé: V6.04.158 Révision: 7012

## 5 Modélisation C

## 5.1 Caractéristique de la modélisation

2D:



Découpage : 1 en hauteur, 1 en largeur.

Chargement de la phase 1 :

Pression de confinement :  $\sigma_{xx}^0 = \sigma_{zz}^0 = -2 \, MPa$  .

# 5.2 Caractéristique du maillage

Nombre de nœuds : 4

Nombre de mailles et types : 1 QUAD4 et 4 SEG2

Pour 
$$\sigma_{xx}^0 = \sigma_{zz}^0 = -2 MPa$$

Numéro d'ordre	Contrainte ( $MPa$ )	Aster
5	$\sigma_{xx}$	- 2.000
5	$\sigma_{\scriptscriptstyle zz}$	- 2.000
5	$\sigma_{yy}$	<b>–</b> 10.7188
10	$\sigma_{yy}$	<b>-</b> 9.7927
16	$\sigma_{yy}$	<b>-</b> 9.1268
25	$\sigma_{yy}$	- 6.2033
30	$\sigma_{yy}$	- 6.0968
40	$\sigma_{yy}$	<b>–</b> 5.9965
	5 5 5 10 16 25 30	$ \begin{array}{ccc}  & (MPa) \\ 5 & \sigma_{xx} \\ 5 & \sigma_{zz} \\ 5 & \sigma_{yy} \\ 10 & \sigma_{yy} \\ 16 & \sigma_{yy} \\ 25 & \sigma_{yy} \\ 30 & \sigma_{yy} \end{array} $

Responsable : Roméo FERNANDES

Date : 04/08/2011 Page : 11/13 Clé : V6.04.158 Révision : 7012

- 5.9942

 $oldsymbol{\sigma}_{yy}$ 

49

Localisation	Numéro d'ordre	Déformation	Aster * E-02
Point D	1	$\boldsymbol{\mathcal{E}}_{xx}$	0.216
	10	$\boldsymbol{\mathcal{E}}_{xx}$	1.151
	40	$\boldsymbol{\mathcal{E}}_{xx}$	8.048
	1	$\boldsymbol{arepsilon}_{yy}$	- 0.800
	5	$\boldsymbol{\varepsilon}_{yy}$	<b>–</b> 1.387
	10	$\boldsymbol{arepsilon}_{yy}$	<b>–</b> 2.120
	25	$\boldsymbol{arepsilon}_{yy}$	<b>–</b> 12.000
	48	$\boldsymbol{arepsilon}_{yy}$	<b>–</b> 15.500

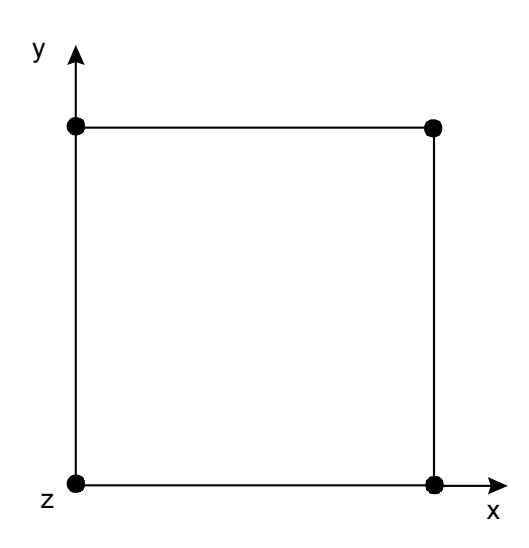
Responsable: Roméo FERNANDES

#### Date: 04/08/2011 Page: 12/13 Clé: V6.04.158 Révision: 7012

## 6 Modélisation D

## 6.1 Caractéristique de la modélisation

2D:



Découpage : 1 en hauteur, 1 en largeur.

Chargement de la phase 1 :

Pression de confinement :  $\sigma_{xx}^0 = \sigma_{zz}^0 = -1 \, MPa$  .

# 6.2 Caractéristique du maillage

Nombre de nœuds : 4

Nombre de mailles et types : 1 QUAD4 et 4 SEG2

Pour 
$$\sigma_{xx}^0 = \sigma_{zz}^0 = -1$$
MPa

Localisation	Numéro d'ordre	Contrainte ( $MPa$ )	Aster
Point D	296	$\sigma_{xx}$	- 1.000
	596	$\sigma_{xx}$	<b>–</b> 1.000
	296	$\sigma_{zz}$	- 1.000
	596	$\sigma_{zz}$	<b>–</b> 1.000
	196	$\sigma_{yy}$	<b>- 4.7247</b>
	296	$\sigma_{yy}$	<b>- 4.1666</b>
	312	$\sigma_{yy}$	- 4.0928
	496	$\sigma_{yy}$	- 3.4030
	596	$\sigma_{yy}$	- 3.1056

Responsable : Roméo FERNANDES

Date : 04/08/2011 Page : 13/13 Clé : V6.04.158 Révision : 7012

Localisation	Numéro d'ordre	Déformation	Aster * E-02
Point D	196	$\boldsymbol{\varepsilon}_{xx}$	2.4608
	396	$\boldsymbol{\mathcal{E}}_{xx}$	4.7711
	596	$\boldsymbol{\mathcal{E}}_{xx}$	6.8830
	196	$\boldsymbol{\varepsilon}_{yy}$	- 3.9200
	296	$\boldsymbol{\varepsilon}_{yy}$	- 5.9200
	396	$\varepsilon_{yy}$	- 7.9200
	496	$\boldsymbol{\varepsilon}_{yy}$	- 9.9200
	596	$\varepsilon_{yy}$	- 11.9200